

2. Goh S. H., Siow K. S. // Thermochim. acta. 1985. V. 102. № 1/2. P. 191.
3. Goh S. H., Siow K. S., Yap K. S. // Thermochim. acta. 1985. V. 102. № 1/2. P. 281.
4. Shah V. S., Keitz J. D., Paul D. R., Barlow J. W. // J. Appl. Polymer Sci. 1986. V. 32. № 3. P. 3863.
5. Wang Y. Y., Chen S. A. // Polymer Engng and Sci. 1981. V. 21. № 1. P. 47.
6. Christiansen W. H., Paul D. R., Barlow J. W. // J. Appl. Polymer Sci. 1987. V. 34. № 2. P. 537.
7. Zeman L., Patterson D. // Macromolecules. 1972. V. 5. № 4. P. 513.
8. Robard A., Patterson D. // Macromolecules. 1977. V. 10. № 5. P. 1021.
9. Robard A., Patterson D., Delmas G. // Macromolecules. 1977. V. 10. № 3. P. 706.
10. Тагер А. А., Адамова Л. В., Блинов В. С., Климова Н. Е., Рачейскова Е. Н., Чудиновских Т. Е., Литвинова Т. В., Мазырина Л. А. // Высокомолек. соед. А. 1987. Т. 29. № 11. С. 2327.
11. Min K. E., Chiou J. S., Barlow J. W., Paul D. R. // Polymer. 1987. V. 28. № 10. P. 1721.
12. Несторов А. Е., Липатов Ю. С. Фазовое состояние растворов и смесей полимеров. Киев, 1987. 168 с.
13. Nishi T., Wang T. T. // Macromolecules. 1975. V. 8. № 6. P. 909.
14. Привалко В. П. Справочник по физической химии полимеров. Т. 2. Свойства полимеров в блочном состоянии. Киев, 1984. 330 с.
15. Elorza J. M., Fernandez-Berridi M. J., Iruin J. J., Guzman G. M. // Polymer Engng and Sci. 1984. V. 24. № 4. P. 287.
16. Elorza J. M., Fernandez-Berridi M. J., Iruin J. J., Guzman G. M. // IUPAC. 28th Macromolec. Symp. Amherst. 1982. P. 683.
17. Paul D. R., Barlow J. W. // Polymer. 1984. V. 25. № 4. P. 487.

Институт химии высокомолекулярных  
соединений АН УССР

Поступила в редакцию  
10.V.1988

УДК 541.64 : 539.2

## ИССЛЕДОВАНИЕ СТРУКТУРНО-МОРФОЛОГИЧЕСКИХ И ДИФФУЗИОННЫХ СВОЙСТВ СОПОЛИМЕРА ЭТИЛЕНА С ВИНИЛАЦЕТАТОМ И ПОЛИЭТИЛЕНА НИЗКОЙ ПЛОТНОСТИ

Скирда Л. А., Емельянов В. М.

Значительный интерес для мембранных технологий в настоящее время представляют полимерные материалы, обладающие максимальными диффузионно-сорбционными характеристиками [1, 2]. Перспективными материалами для мембран могут служить статистические сополимеры [1], поскольку путем введения в полимерную цепь звеньев, отличающихся от элементов основной цепи по химическому составу, структуре или стереохимическим параметрам, можно получить материал с улучшенными диффузионно-сорбционными свойствами. Несмотря на практическую значимость сополимеров, изучению взаимосвязи их диффузионных свойств с особенностями структурно-морфологической организации посвящено ограниченное число работ [1, 3, 4]. Главным образом эта ситуация вызвана зависимостью свойств сополимеров от большого числа параметров: концентрации звеньев, характера их распределения по цепи, фазовой структуры гомополимеров и т. д. [4].

Цель предлагаемой работы состояла в сравнительном изучении структурно-морфологических особенностей статистического сополимера этилена с винилацетатом и ПЭНП и установлении взаимосвязи с их диффузионными свойствами.

Исследовали промышленные образцы статистического сополимера этилена с винилацетатом (СЭВА) марки 113-02-075 с содержанием винилацетатных звеньев 11,2 вес. % и для сравнения ПЭНП марки 15803-020, полученных в НПО «Органический синтез» (Казань). Образцы имели форму гранул идентичного размера ~0,4 мм. Морфологию поверхности образцов изучали методом оптической микроскопии на фотомикроскопе «Docuval» («Karl-Zeiss-Yena»).

Таблица 1

**Параметры структуры и молекулярной подвижности СЭВА и ПЭНП**

Полимер	$\frac{T_{2a}, \text{ мкс}}{P_a, \text{ отн.ед.}}$	$\frac{T_{2b}}{P_b}$	Степень кристалличности, отн. ед.
ПЭНП	141,0 0,47	30,0 0,33	0,50
СЭВА	282,0 0,46	46,0 0,46	0,38

Таблица 2

**Параметры ширины распределения спектра коэффициентов самодиффузии молекул гексана в СЭВА и ПЭНП при различных временах диффузии**

Полимер	$\frac{\Phi/\Phi_L, \text{ вес. \%}}{t_d (\text{мс})/\sigma^2}$
ПЭНП	14,4 28,8
СЭВА	21,8 57,4

Для изучения структурных особенностей и диффузионных свойств полимеров использован импульсный вариант метода ЯМР. С целью оценки кристалличности и молекулярной подвижности СЭВА и ПЭНП на ЯМР-релаксометре на рабочей частоте протонов 19,0 МГц снимали спады свободной индукции (ССИ). Форма ССИ образцов СЭВА и ПЭНП типична для полимеров с частично кристаллической структурой [5]. В ССИ наблюдали присутствие трех компонент: быстро релаксирующей гауссово-типа и двух медленно релаксирующих – лоренцевого типа, характеризующихся соответственно временами спин-спиновой релаксации  $T_{2c}$ ,  $T_{2b}$ ,  $T_{2a}$  и населенностями протонов  $P_c$ ,  $P_b$  и  $P_a$ . Анализ регистрируемых спадов на мини-ЭВМ позволил определить значения времен  $T_{2i}$  и населенностей  $P_i$  с погрешностью <5%. Согласно работе [5], населенность  $P_c$  гауссовой компоненты спада соответствовала доле кристаллических областей в исследуемых образцах, так называемой динамической степени кристалличности.

Особенности трансляционного движения (самодиффузии) молекул инертной жидкости в полимерной матрице использованы нами как для изучения диффузионных свойств СЭВА и ПЭНП, так и для оценки некоторых особенностей их структуры. В качестве инертной жидкости, не разрушающей исходную структуру образцов, использован гексан (квалификации х. ч.). Эксперимент проводили следующим образом: гранулы полимеров помещали в бюксы, заполненные гексаном, и насыщали до равновесного состояния. Достижение равновесия контролировали весовым способом. Контрольные эксперименты показали, что за время взвешивания потерей в весе гранулами, насыщенными гексаном, можно пренебречь. После достижения равновесия (через 17 сут) образцы помещали в пробирки для ЯМР-измерений и быстро запаивали. Для исследования самодиффузии гексана в СЭВА и ПЭНП использован метод ЯМР с импульсным градиентом магнитного поля [6]. Измерения коэффициентов самодиффузии  $D_s$  молекул гексана проводили на лабораторном ЯМР-релаксометре с блоком импульсного градиента на частоте резонанса протонов 60,0 МГц по двухимпульсной методике Хана и стимулированного эха [6, 7]. ЯМР-измерения осуществляли при 30°, изучение поверхности образцов – при 20°.

На рис. 1 представлены микрофотографии физического микрорельефа гранул ПЭНП в отраженном свете. Явно наблюдается микродефектная или микропористая текстура полимерного материала. Микродефектность выявляется при увеличении 700–900. Средний размер микропустот, просматриваемых на оптическом уровне оценен в пределах 2–5 мкм. Расчеты показали, что средний размер структурных элементов, составляющих поверхность гранул ПЭНП, изменяется в пределах 1–3 мкм. Сопоставление данных по оптической микроскопии, полученных с поверхности гранул СЭВА в идентичных условиях съемки (рис. 2), показало, что поверхностный слой гранул сополимера более рыхлый, чем ПЭНП. Наблюдаются увеличение среднего размера элементов структуры поверхностного слоя, просматриваемых оптически, по сравнению с предыдущим случаем от 3 до 10 мкм.

Качественные данные о морфологии поверхности образцов, полученные с помощью оптической микроскопии, подтверждаются исследованием кристалличности и подвижности макроцепей в СЭВА и ПЭНП методом ЯМР. В табл. 1 приведены результаты оценки динамической степени кристалличности  $P_{kp}$  исследуемых образцов. Видно, что для ПЭНП характерна достаточно высокая степень кристалличности ( $P_{kp} \approx 0,50$ ).

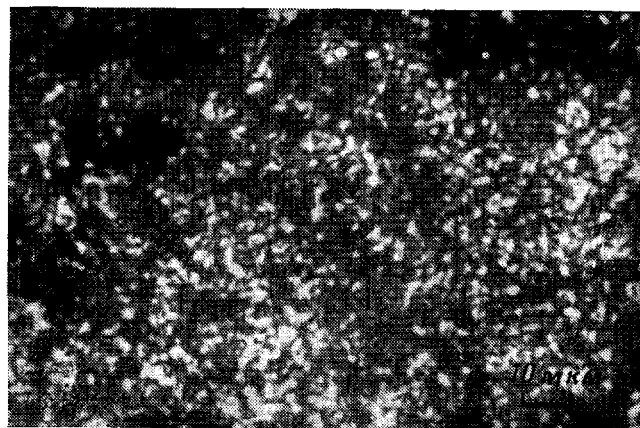


Рис. 1. Микрофотография поверхности гранул ПЭНП в отраженном свете

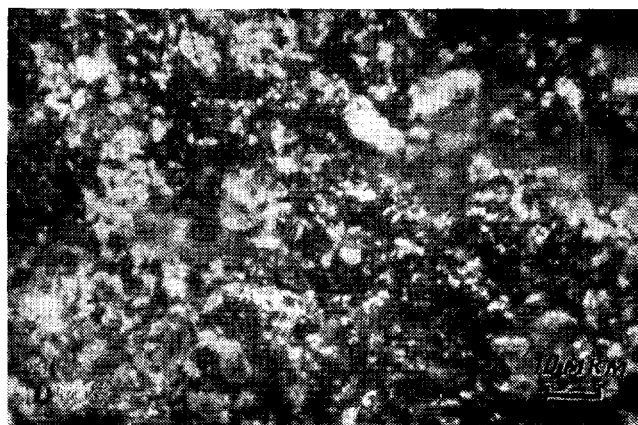


Рис. 2. Микрофотография поверхности гранул СЭВА в отраженном свете

Населенность (доля) аморфной фазы при этом составляет  $\sim 0,17$ , а межфибриллярных проходных цепей, формирующих промежуточную фазу, —  $0,33$ . Подвижность проходных цепей в ПЭНП, оцененная по величине времени  $T_{2\alpha}$ , невысока и составляет  $\sim 30$  мкс. Наблюданное значение времени  $T_{2\alpha} \approx 140$  мкс свидетельствует о достаточно развитом движении макроцепей в аморфной фазе ПЭНП и характерно для сегментального типа движения.

Введение винилацетатных звеньев в цепь ПЭНП, как следует из табл. 1, приводит к снижению кристалличности сополимера ( $P_{kp}=0,38$ ), увеличению доли промежуточной фазы ( $P_a=0,46$ ), практически оставляя неизменным содержание аморфной ( $P_d=0,16$ ). При этом происходит рост сегментальной подвижности цепей СЭВА в аморфной фазе по сравнению с ПЭНП. Наблюдаемые изменения в соотношении фаз свидетельствуют по-видимому, о структурных перестройках, связанных с внедрением части звеньев винилацетата в кристаллическую решетку, образованную макромолекулами ПЭ. Методом дифракции рентгеновских лучей обнаружено [8], что присутствие объемных винилацетатных звеньев в кристаллической решетке ПЭ вызывает в ней локальные нарушения трехмерного порядка и снижает кристалличность сополимера. Вместе с тем следует

отметить, что на фоне общего снижения кристалличности в СЭВА по сравнению с ПЭНП, возникшие в сополимере структурные элементы имеют больший размер (рис. 1, 2), и структура СЭВА в целом более гетерогенна.

Многочисленными исследованиями [3, 4, 9] установлено, что перенос газов и жидкостей в частично кристаллических полимерах, следовательно, в ПЭНП и СЭВА, в значительной мере определяется степенью кристалличности и осуществляется преимущественно через аморфную фазу полимерной матрицы. Таким образом, наблюдаемое увеличение сорбционной емкости и коэффициентов диффузии в СЭВА по сравнению с ПЭНП [1] логично связать как с уменьшением кристалличности сополимера, так и с некоторыми особенностями его аморфной фазы.

С целью исключения влияния одного из факторов — кристалличности в работе проведена оценка диффузионных свойств СЭВА и ПЭНП относительно инертной жидкости — гексана. При этом исходили из следующих посылок: во-первых, диффузия инертной жидкости осуществляется через аморфную фазу частично кристаллических полимеров без разрушения их исходной структуры [10, 11], и, во-вторых, структурные особенности полимера определяют характер распределения низкомолекулярного компонента и особенности его трансляционной подвижности [12]. В этом смысле гексан служит удобным зондом для детального исследования особенностей аморфной фазы СЭВА и ПЭНП методом ЯМР с импульсным градиентом магнитного поля.

В табл. 2 представлены данные о равновесном содержании гексана в исследуемых полимерах  $\varphi$ . Как и следовало ожидать, макроскопическая концентрация гексана в СЭВА выше, чем в ПЭНП. С учетом кристалличности образцов (0,5 для ПЭНП и 0,38 для СЭВА) локальная концентрация гексана в аморфной фазе  $\varphi_a$ , естественно, выше и составит в СЭВА 57,4 вес.% и в ПЭНП — 28,8 вес.%. Таким образом, если исключить из рассмотрения влияние кристалличности образцов, содержание низкомолекулярного компонента в сополимере оказывается выше, чем в ПЭНП. Полученные результаты явно свидетельствуют о специфике аморфной фазы СЭВА.

О характере распределения молекул гексана в аморфной фазе полимеров судили по форме кривых диффузионного затухания  $A(g^2)$ , представленных на рис. 3. Видно, что форма кривых является неэкспоненциальной, кроме того, наблюдается ее явная зависимость от времени диффузии  $t_d$ . Анализ результатов, представленных на рис. 3 показал, что кривые  $A(g^2)$  могут быть представлены в следующем виде:

$$A(g^2) \approx \int_0^{\infty} P(D_s) \exp(-\gamma^2 g^2 t_d D_s) dD_s, \quad (1)$$

где  $A$  — амплитуда сигнала спинового эха;  $\gamma$  — гидромагнитное отношение протона;  $g$  — амплитуда импульсов градиента;  $P(D_s)$  — функция, характеризующая спектр  $D_s$ .

Из формулы (1) следует важная особенность трансляционного движения молекул гексана в СЭВА и ПЭНП — наличие спектра  $P(D_s)$ . Согласно работе [12], существование спектра  $P(D_s)$  в системе полимер — низкомолекулярное вещество в общем случае свидетельствует о неоднородном характере распределения низкомолекулярного компонента в полимерной матрице и вызвано структурно-морфологическими особенностями последней. Что касается полученных данных по самодиффузии гексана в матрице СЭВА и ПЭНП, то они указывают прежде всего на неоднородность аморфной фазы исследуемых образцов.

С целью количественной оценки этой неоднородности предпринята попытка определения ширины спектра  $P(D_s)$  по методике, изложенной

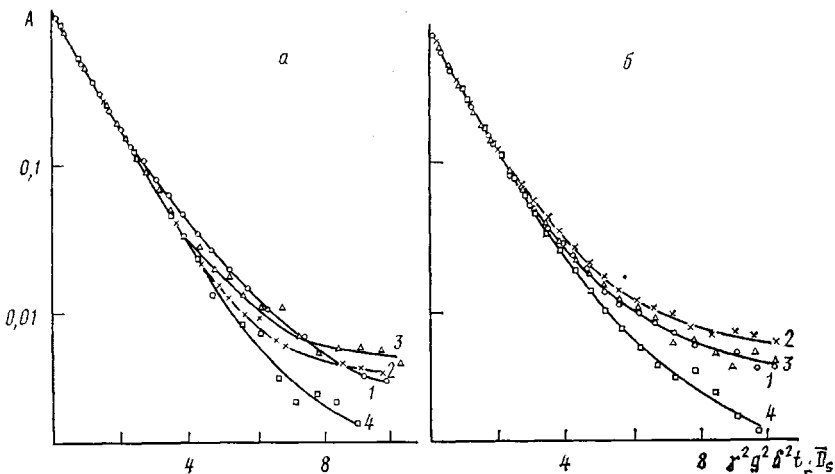


Рис. 3. Кривые диффузионного затухания сигнала спинового эха протонов молекул гексана в матрице ПЭНП (а) и СЭВА (б) при разных временах диффузии: а: 2,5 (1); 6,5 (2); 10 (3); 40 мс (4);  $D_s = 1,06 \cdot 10^{-10}$  м<sup>2</sup>/с. б: 2,5 (1); 5,0 (2); 10 (3); 40 мс (4);  $D_s = 2,25 \cdot 10^{-10}$  м<sup>2</sup>/с

в работе [13]. Установлено, что спектр  $D_s$  в достаточно хорошем приближении описывается логарифмически нормальной функцией распределения

$$P(D_s) = \frac{1}{\sqrt{2\pi}\sigma^2} \exp \left[ -\ln^2 \left( -\frac{D_s}{D_{s0}} \right) / 2\sigma^2 \right] \Delta \ln \frac{D_s}{D_{s0}},$$

где  $D_{s0}$  — характеристика центра функции распределения;  $\sigma$  — параметр ширины распределения.

Результаты оценки  $\sigma^2$ , приведенные в табл. 2, подтверждают более неоднородный характер распределения гексана в аморфной фазе СЭВА по сравнению с ПЭНП. Заметна тенденция к снижению значений  $\sigma^2$  с ростом времени диффузии, т. е. сужению спектра  $D_s$ . Наблюдаемое сужение  $P(D_s)$  происходит, по-видимому, вследствие некоторого динамического усреднения трансляционных характеристик молекул гексана, связанного с их возможностью перемещаться по всем неупорядоченным областям полимерной матрицы. С одной стороны, это свидетельствует о взаимопроницаемости неупорядоченных областей, а с другой — полученные экспериментальные данные позволяют определить их пространственный масштаб.

Предположим для зависимости  $\sigma^2$  от  $t_d$  экспоненциальный вид

$$\sigma^2 = \exp(-t_d/t_d^*),$$

где  $t_d^*$  — время усреднения наблюдаемого спектра  $P(D_s)$ .

Зная величины  $t_d^*$  и среднего  $\bar{D}_s$ , определяемого из наклона к начальному участку неэкспоненциальных кривых  $A(g^2)$  (рис. 3), воспользовавшись соотношением Эйнштейна [14]

$$\bar{D}_s = \langle \bar{r}^2 \rangle / 6t_d^*$$

можно определить пространственный масштаб  $\langle \bar{r} \rangle$ , на котором происходит усреднение трансляционных характеристик

$$\langle \bar{r} \rangle = (\bar{D}_s) (6t_d^*)^{1/2}$$

Параметр  $\langle \bar{r} \rangle$  в этом отношении по порядку величины есть размер неоднородностей, под которыми применительно к рассматриваемому случаю понимаются дефекты структуры аморфной фазы СЭВА и ПЭНП. Результаты оценки величины  $\langle \bar{r} \rangle$  в исследуемой полимерной паре состав-

ляют  $\sim 9,30$  мкм для СЭВА и  $\sim 11,50$  мкм для ПЭНП. При переходе от СЭВА к ПЭНП наблюдается тенденция к росту параметра  $\langle \tilde{r} \rangle$ , т. е. увеличению размера дефектов в матрице ПЭНП по сравнению с СЭВА. Вместе с тем локальная концентрация гексана  $\varphi_g$ , обусловленная преимущественно общим содержанием таких дефектов в полимерной матрице, в ПЭНП оказывается ниже, чем в СЭВА (табл. 2). Сопоставление указанных экспериментальных фактов позволяет сделать вывод о том, что по количеству дефектов, несмотря на меньший их размер, структура аморфной фазы СЭВА является более рыхлой и гетерогенной по сравнению с ПЭНП. Об этом свидетельствует также рост сегментальной подвижности макропепей в аморфной фазе при переходе от ПЭНП к СЭВА и большие значения  $D_s$  гексана в сополимере.

Таким образом, полученные экспериментальные данные дают основание считать, что улучшение диффузионных характеристик статистического сополимера СЭВА по сравнению с ПЭНП вызвано особенностями структурно-морфологической организации матрицы сополимера, а именно более низкой кристалличностью, ростом дефектности и сегментальной подвижности цепей в аморфной фазе.

Авторы благодарят Н. А. Палихова за микрофотосъемку образцов.

#### ЛИТЕРАТУРА

1. Николаев Н. М. Диффузия в мембранах. М., 1980. 231 с.
2. Дубяга В. П., Перепечкин Л. П., Каталевский Е. Е. Полимерные мембранны. М., 1981. 230 с.
3. Рейтлингер С. А. Проницаемость полимерных материалов. М., 1974. 272 с.
4. Чалых А. Е. Диффузия в полимерных системах. М., 1987. 301 с.
5. Федотов В. Д. Дис. ... докт. физ.-мат. наук. Казань: КГУ, 1980. 272 с.
6. Stejskal E. O., Tanner J. E. // J. Chem. Phys. 1965. V. 42. P. 288.
7. Tanner J. E. // J. Chem. Phys. 1970. V. 52. № 5. P. 2523.
8. Мартынов М. А., Вылегжанина К. А. Рентгенография полимеров. М., 1972. 94 с.
9. Проблемы физики и химии твердого состояния органических соединений. М., 1968. 476 с.
10. Zupancic J., Lahajnar G., Blinc R., Reneker D., Peterlin A. // Polymer Sci. Polymer Phys. Sd. 1978. V. 16. № 9. P. 1399.
11. Fleischer G. // Polymer Bull. 1982. V. 7. № 8. P. 423.
12. Скирда Л. А., Косточки А. В. // Высокомолек. соед. А. 1984. Т. 26. № 6. С. 1253.
13. Маклаков А. И., Скирда В. Д., Фаткуллин Н. Ф. Самодиффузия в растворах и расплавах полимеров. Казань, 1986. 205 с.
14. Резебуа П., де Ленер М. Классическая кинетическая теория жидкостей и газов. М., 1980. 423 с.

Казанский химико-технологический  
институт им. С. М. Кирова

Поступила в редакцию  
10.V.1988

УДК 541,64 : 539.2

#### ОБ ОРИЕНТАЦИИ ЖИДКОКРИСТАЛЛИЧЕСКИХ РАСПЛАВОВ ПОЛИДЕКАМЕТИЛЕНТЕРЕФТАЛОИЛ-бис-4-ОКСИБЕНЗОАТА

Григорьев А. И., Андреева Н. А., Волков А. Я.,  
Скородюков С. С.

В работе [1] было установлено, что величины ММ полимеров влияют на направление ориентации мезогенных групп термоторопных полимеров при механической ориентации их ЖК-расплавов. Мезогенные группы полимеров с большими ММ располагаются вдоль, а с малыми ММ — поперек оси ориентации. При изучении поли(олигооксипропилен-250)-терефталоил-бис-(4-оксибензоата) [2] мы наблюдали одновре-